

I-15 補剛了一子 橋の動的 静的 無次元解析

熊本大学 正員 平井一男

同 正員 吉村虎藏

同 学 生員。德留正男

同 宮崎建夫

支那文

この研究は、固有振動数の比で示される無次元量 $\lambda (= \omega^2/\omega_{\text{g}}^2)$ を使ってランガ一橋の固有振動数や固有モードを求め、さらにランガ一橋の静的レスポンス（たわみ、曲げモーメント、軸力等）を得ようとするものである。解析はまず補剛係数の動的解析を行い、しかるのちアーチ部との接合を行って、ランガ一橋全体としてのレスポンスを求める変形等価理論による。

(1) 固有振動数、振動モードについて

ランガ一橋の変形を次のように考える。

(1) で示された場合、補剛筋と放物線マニ子との幾何学的な変形条件から、次の適合条件式が得られる。

$$n = 1, 3, 5, \dots, \infty \quad \Delta H = \frac{16 E f B}{\pi c^2} \sum_n \frac{a_n}{n} \quad \{ \quad \dots \dots \dots \quad (2)$$

$$n = 2, 4, 6, \dots \text{ とき } \Delta H = 0$$

ここに ΔH : アー子の水平推力

$$B = Aa / \left[Aa/A_g + \{ 1 + 8(f/e)^2 + 19.2(f/e)^4 \} \right]$$

この適合条件式からわかるように、 $\bar{\alpha}$ は対称変形のときだけ働き、逆対称変形のときは働きないので、補剛性のみの振動を求めるべき。

いま、補剛筋のみに等分布荷重 $F_0 \sin \omega t$ が作用するとき、補剛筋のたわみは式(3)を示され。

$$W(x_i) = \frac{4\pi}{\pi P} \sum_n \frac{1}{n(\omega_{gn}^2 - \omega^2)} \sin\left(\frac{n\pi x_i}{L}\right) \sin \omega t \quad (3)$$

式(3)で示された振動変位と同様変位をマニ子に与えようとする力の大きさは

$$P_2 = \frac{8f}{\ell^2} \cdot AH = \frac{5/2 E f^2 B}{\pi^2 P \ell^4} \sum_{n=1}^{\infty} \frac{1}{n^2 (\omega_{qn}^2 - \omega^2)} P_2$$

この旨をアーチ子に加えながら補剛橋と結合すれば補剛橋とアーチ子とは一體となって振動する。自由振動時には、上記の外力は0でなければならぬ。

これがランガ一構造の振動方程式であるが、式(4)、(5)より、これは次式のように書き表わされる。

$$\frac{\pi^6 I}{512 f^2 B} = \sum_{n=1,3,5,\dots} \frac{1}{n^6(1-n^4\chi)} - 1.00144$$

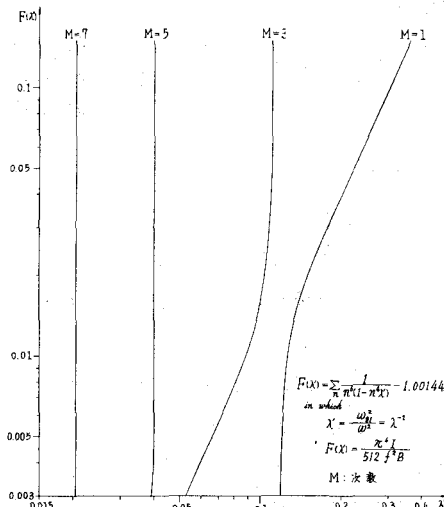


图 - 1

式(6)が対称振動時の振動方程式である。

次に、ランガー橋の固有モード $\bar{\omega}_m(x_i)$ は、図-1から求めた W_m を式(3)に代入し、さらに対称化すると、次式にて示される。

$$\bar{\omega}_m(x_i) = \sqrt{\frac{2}{P\ell}} \left(\sum_{n=1,3,5,\dots} \delta_{mn}^2 \right)^{-\frac{1}{2}} \sum_{n=1,3,5,\dots} \delta_{mn} \sin\left(\frac{n\pi x_i}{\ell}\right) \quad (7)$$

ここで $\delta_{mn} = 1/n(n^2 - \lambda_m^2)$

さらに対称化してこれを書きかえると、

$$\bar{\omega}_m(x_i) = \sqrt{\frac{2}{P\ell}} / \sqrt{\frac{1}{\pi} \left\{ 1/n^2(n^2 - \lambda)^2 \right\}} \left\{ \frac{1}{\pi} \frac{1}{n(n^2 - \lambda)} \sin\left(\frac{n\pi x_i}{\ell}\right) \right\} \quad (8)$$

また、逆対称振動の場合の固有振動数と正規化モードは、補剛性のみを差えて、次のようになる。

$$W_m = (m\pi/\ell)^2 \sqrt{\frac{EI}{P}} \quad \text{ここで } \left. \begin{array}{l} W_m = \sqrt{\frac{2}{P\ell}} \sin\left(\frac{m\pi x_i}{\ell}\right) \\ m = 2, 4, 6, \dots \end{array} \right\} \quad (9)$$

[2] 静荷重による大形みと曲げモーメントについて

図-2に示すように $x = x_i$ なる位置に集中荷重 $P(t)$ が作用するとき、 $x = x_i$ 点におけるランガー橋の動的レスポンス W は、その W_m と $\bar{\omega}_m(x)$ を使って次式(10), (11)から求められる。

$$\ddot{W}_m + \omega_m^2 W_m = \bar{\omega}_m(x=x_i) \cdot \bar{\omega}_m(x=x_i) \cdot P(t) \quad (10)$$

$$W = \sum_{m=1}^{\infty} W_m \quad (11)$$

静荷重 $P_0 = 1$ が $x = x_i$ 点に作用するときには、式(10)の解は、次式にて与えられる。

$$W(x_i) = \sum_{m=1}^{\infty} W_m(x_i) = \sum_{m=1}^{\infty} \bar{\omega}_m(x_i) \cdot \bar{\omega}_m(x_i) / \omega_m^2 \quad (12)$$

また、補剛性における曲げモーメントのレスポンスは、上の大形み曲線の2階微分として得られる。すなはち、

$$M(x) = -EI \frac{d^2 W(x)}{dx^2} = -EIg \frac{d^2}{dx^2} \left(\sum_{m=1}^{\infty} W_m \right) \quad (13)$$

なお、式(12)を λ を使って示すと

$$W(x_i) = \sum_m W_m(x_i) = \frac{2\ell^3}{\pi^2 EI} \sum_m \frac{\lambda_m^3}{\sum \left\{ 1/n^2(n^2 - \lambda_m^2)^2 \right\}} \left\{ \sum_n \sin\left(\frac{n\pi x_i}{\ell}\right) / n(n^2 - \lambda_m^2) \right\} \times \left\{ \sum_n \sin\left(\frac{n\pi x_i}{\ell}\right) / n(n^2 - \lambda_m^2) \right\} \quad (14)$$

あとがき

式(14)の右辺は、振動モードの積によってつながり、荷重点を変化させることによつて、「大形み-影響線」を得ることができる。

図-4は、図-3を使って描いたもので、

ランガーブラッジのディッシュンションが変わった時の y_{x_i} -line の変化を示している。

同様にして、曲げモーメントやアーチ力、軸力の影響線等も簡単に求められることができる。

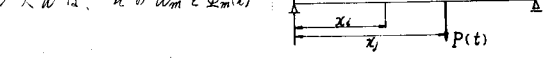


図-2

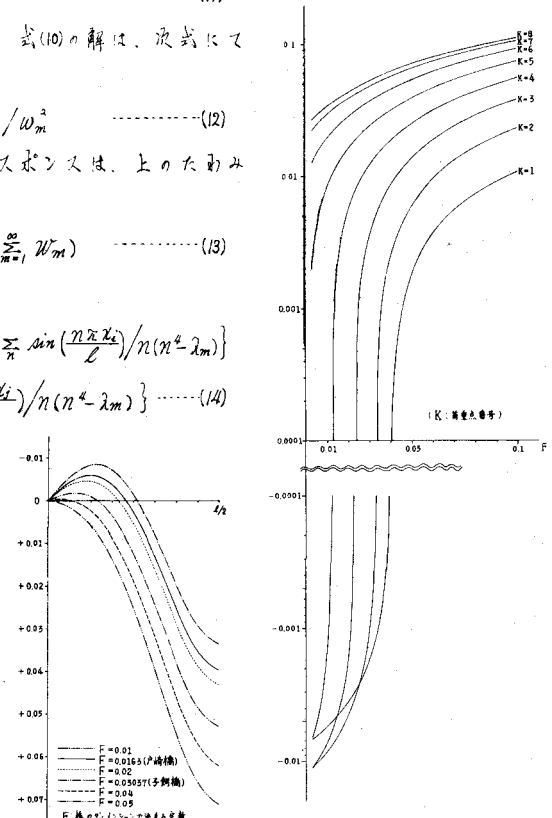


図-4